

Расчет поля в плоскостойких средах микроэлектроники

© И.А. Конников

e-mail: konnikov_i@mail.ru

(Поступило в Редакцию 7 февраля 2017 г.)

Предложена ориентированная на решение задач микроэлектроники модификация метода расчета горизонтальной и вертикальной компонент монохроматического поля, создаваемого в плоскостойкой среде горизонтально протекающим током и описываемого волновым уравнением. Предлагаемое решение базируется на использовании ранее предложенного и апробированного метода эквивалентной постоянной распространения, который позволяет значительно снизить объем вычислений по сравнению с другими методами, основанными на строго динамическом подходе. Рассмотрен ход решения задачи, иллюстрирующей применение предлагаемого метода для области малых расстояний.

DOI: 10.21883/JTF.2017.11.45118.2197

Введение. Известные решения

Решение многих задач технической физики сводится к решению волнового уравнения с последующим вычислением поля реального источника известной формы и размеров через функцию Грина; при этом в качестве физической модели среды, где рассчитывается поле, нередко может быть принята плоскостойкая среда. Как известно [1,2], строгое аналитическое решение волнового уравнения на частоте $\omega > 0$ для электромагнитного поля в плоскостойкой среде описывается интегралом на действительной полуоси от комплекснозначной функции, включающей в качестве одного из сомножителей функцию Бесселя первого рода. В англоязычной литературе интегралы этого типа известны как Sommerfeld-type integrals (см., например, [3,4]); в настоящей работе они именуется S -интегралами.

Методы вычисления интегралов указанного типа (S -интегралов) хорошо известны. Значения интегралов вычисляются приближенно, для чего применяются различные численные схемы, либо асимптотические методы (чаще всего это — метод перевала), либо их комбинации. Для решения многих прикладных задач, и особенно для проведения научных исследований, такие методы обычно являются вполне приемлемыми. Однако, опуская детальный разбор известных методов вычисления S -интегралов, обобщая полученные к настоящему времени результаты, можно констатировать, что для некоторых технических приложений S -интегралы все же мало пригодны для практического использования в качестве математической модели электромагнитного поля в плоскостойкой среде. В частности, для решения проектных задач микроэлектроники (например, для количественной оценки перекрестных помех), когда поле требуется вычислять сотни и даже тысячи раз, при использовании компьютеров широко доступного класса S -интегралы совершенно непригодны вследствие непомерно высоких затрат машинного времени. Тем же недостатком обладают хорошо известные методы расчета поля, использующие пространственную дис-

кретизацию моделируемого объекта на мелкой сетке. Наиболее известным и широко используемым, по-видимому, является так называемый метод FDTD¹ (метод конечной разности во временной области), предложенный предположительно в [4]. Однако, как справедливо отмечается в [5], метод FDTD требует значительных вычислительных ресурсов и потому неконкурентоспособен. Так, например, при решении конкретной задачи [6] с использованием метода ILCM² удалось добиться на 3 десятичных порядка большего быстродействия, чем при использовании методов FDTD и MOM³ [6].

При реализации метода ILCM [7,8] требуется решение интегрального уравнения; метод не приспособлен для решения ряда актуальных задач и может потребовать немалых вычислительных ресурсов. Даже специальная адаптация метода ILCM под некоторые задачи, требующие многократного вычисления поля (например, задачи расчета помехонесущего поля и оценки внутренней электромагнитной совместимости в микросхемах и на печатных платах), не приводит к необходимому и достаточному снижению времени счета и является лишь паллиативом.

Заслуживает особого внимания модифицированный метод эквивалентной схемы частичного элемента (PEEC-method)⁴ [8,9], разработку которого после выхода монографии [8], по-видимому, можно считать в основном завершённой. Метод ориентирован на решение задач электроники для частоты $\omega > 0$ и адаптирован для расчетов во временной области. Однако, как отмечается в [10], метод PEEC не учитывает излучение и время распространения электромагнитной волны; необходимость анализа структур, размеры которых соизмеримы с длиной волны, потребовала серьезно усложнить метод. Гибридный FDTD/PEEC-метод, предложенный в [10], также

¹ FDTD — Finite Difference Time Domain.

² ILCM — Intermediate Level Circuit Model.

³ MOM — Method Of Moments.

⁴ PEEC — Partial Element Equivalent Circuit.

не обладает достаточным быстродействием, приемлемым при решении ряда проектных задач электроники, и не сможет существенно изменить ситуацию; необходим прагматичный, „технический“ подход к решению задачи, получившей в теоретической физике решение, не всегда пригодное для практического использования. Полученные с помощью вычисления S -интегралов для решения задач электроники результаты относятся в основном к оценке взаимовлияния компланарных проводников, параллельных плоским границам раздела слоев; для такой оценки расчет вертикальной компоненты поля не нужен. Взаимовлияние проводов, лежащих во взаимно перпендикулярных плоскостях, не рассматривалось (по сведениям автора). В то же время при оценке взаимовлияния некомпланарных проводников необходимо использовать, как минимум, две компоненты поля, в том числе вертикальную. Дальнейшее развитие методов расчета поля в плоскостной среде остается по-прежнему актуальным.

Метод эквивалентной постоянной распространения

Реальной альтернативой названным методам расчета поля в некоторых случаях может явиться метод эквивалентной постоянной распространения (ЭПР), позволяющий избежать вычисления S -интегралов. Метод ЭПР ориентирован приблизительно на тот же частотный диапазон, что и метод РЕЕС, но обладает существенно меньшей вычислительной емкостью. Метод ЭПР был предложен в [11] и затем развит в [12,13] применительно к задаче расчета перекрестных наводок в компланарных проводниках радиоэлектронного модуля. Параметры эквивалентной схемы, которая используется для моделирования таких наводок в системах автоматизированного проектирования (САПР), при использовании метода ЭПР рассчитываются [14] не только через статическую составляющую поля, но в отличие от РЕЕС-метода с учетом также и поля излучения.

В [11] была проведена апробация метода ЭПР на ряде задач, для которых известно строгое решение, подтверждена корректность используемого подхода и проведена оценка области корректного использования метода. Там же было показано, что метод ЭПР позволяет свести решение волнового уравнения к решению уравнений Лапласа для электрического и векторного магнитного потенциалов поля. Однако применение описанной в [11] схемы использования метода ЭПР, основанной на использовании математической модели поля в однородном пространстве, для расчета вертикальной компоненты поля невозможно, поскольку компонента поля горизонтального источника, перпендикулярная границам раздела слоев (вертикальная компонента), возникает лишь в слоистой среде и в однородном пространстве отсутствует. Поэтому при расчете вертикальной компоненты математическую модель поля в плоскостной

среде целесообразно описывать аналитическим выражением, соответствующим двум полупространствам с плоской границей раздела, а многослойность среды учитывать с помощью ЭПР, как предлагается в [11], т.е. используя ЭПР вместо постоянной распространения, определяемой в классической трактовке этого понятия только электрофизическими свойствами материала слоя и частотой. Такая же схема пригодна и для расчета горизонтальной компоненты поля. Решения, получаемые альтернативными методами, обладают большей вычислительной емкостью.

Поле вблизи плоской границы раздела полупространств

Рассмотрим расчет поля горизонтального источника в плоскостной среде более подробно. Для решения многих прикладных задач технической физики электромагнитное поле удобно характеризовать напряженностью электрического поля E , которая связана с векторным магнитным (A) и электрическим потенциалами хорошо известным соотношением:

$$E = -\nabla\varphi + i\omega A, \quad \mathbf{E} = k^2\Pi + \overline{\text{grad div}}\Pi. \quad (1)$$

Для вычисления потенциалов A и φ можно воспользоваться классическими результатами, полученными для поляризованного потенциала поля вблизи плоской границы полупространств. Как показано в [15], в случае элементарного диполя, расположенного на плоской границе раздела полупространств и ориентированного вдоль оси абсцисс (аппликата границы $z_1 = 0$, аппликата диполя $z_0 = 0$), на частоте $\omega \geq 0$ в j -м полупространстве ($j = 1, 2$) горизонтальная компонента поляризованного потенциала, соответствующая такой структуре, описывается выражениями

$$\left. \begin{aligned} \Pi_{x_1} &= \frac{2}{n^2} \int_0^{\infty} J_0(\lambda r) \Phi_{2,1}(\lambda) d\lambda, \quad z \leq 0, \\ \Pi_{x_2} &= \frac{\exp(ik_2 R_1)}{R_1} - \frac{\exp(ik_2 R_2)}{R_2} \\ &\quad + 2 \int_0^{\infty} J_0(\lambda r) \Phi_{2,2}(\lambda) d\lambda, \quad z \geq 0, \end{aligned} \right\} \quad (2)$$

где в общем случае $\Phi_{m,j}$ — определяемая из граничных условий для горизонтальной компоненты математическая модель [16] плоскостной среды, в которой рассчитывается поле, причем индекс m — число слоев среды, а j — номер слоя, k_j — постоянная распространения электромагнитной энергии в j -м слое, $\Phi_{2,1}(\lambda) = \frac{\exp(\alpha_1 z - \alpha_2 z_0)}{\alpha_1 + \alpha_2} \lambda$, $z \leq 0$, $\Phi_{2,2}(\lambda) = \frac{\exp[-(z+z_0)\alpha_2]}{\alpha_1 + \alpha_2} \lambda$, $z \geq 0$ [15], $\alpha_j = \sqrt{\lambda^2 - k_j^2}$, $j = 1, 2$, λ — параметр

разделения [2], именуемый в [17] параметром разложения, $\theta = \arccos x/r$ — азимут, J_0 — функция Бесселя первого рода нулевого порядка, $n^2 = k_1^2/k_2^2$, x_0, y_0, z_0 — абсцисса, ордината и аппликата источника поля; x, y, z — абсцисса, ордината и аппликата точки, где вычисляется поле; радиус $r = \sqrt{(x - x_0)^2 + (y - y_0)^2}$; $R_1 = \sqrt{r^2 + (z - z_0)^2}$; $R_2 = \sqrt{r^2 + (z + z_0)^2}$; i — мнимая единица (мнимое число, удовлетворяющее соотношению $i^2 = -1$); $\pi = 3.14159\dots$; здесь и далее слои (и полупространства) считаются изотропными, однородными, неограниченными в азимутальном направлении и имеющими плоскопараллельные границы раздела, электромагнитные процессы считаются монохроматическими, а электрофизические характеристики слоев — частотонезависимыми.

Выражения (2) удовлетворяют волновому уравнению и граничным условиям для плоской границы полупространств [15]

$$k_2^2 \Pi_{x_2} = k_1^2 \Pi_{x_1} \quad \text{и} \quad k_2^2 \frac{\partial \Pi_{x_2}}{\partial z} = k_1^2 \frac{\partial \Pi_{x_1}}{\partial z}. \quad (3)$$

Вертикальная компонента поляризованного потенциала в рассматриваемой структуре описывается выражениями [15]

$$\Pi_{z_2} = -\frac{2 \cos \theta}{k_2^2} \int_0^\infty J_1(\lambda r) \Omega_{2,1}(\lambda) \lambda^2 d\lambda, \quad z \leq 0 \quad (4)$$

$$\Pi_{z_1} = -\frac{2 \cos \theta}{k_1^2} \int_0^\infty J_1(\lambda r) \Omega_{2,2}(\lambda) \lambda^2 d\lambda, \quad z \geq 0, \quad (5)$$

где $\Omega_{2,1}(\lambda) = \frac{\alpha_2 - \alpha_1}{n^2 \alpha_2 + \alpha_1} \exp(\alpha_1 z - \alpha_2 z_0)$, $z \leq 0$ — математическая модель структуры, состоящей из полупространств с плоской границей раздела для z -компоненты [15]; $\Omega_{2,2}(\lambda) = \frac{\alpha_2 - \alpha_1}{n^2 \alpha_2 + \alpha_1} \exp[-\alpha_2(z + z_0)]$ — то же для $z \geq 0$ [15]; J_1 — функция Бесселя первого рода первого порядка.

При выводе формул (4) и (5) использованы граничные условия [15]

$$k_2^2 \Pi_{z_2} = k_1^2 \Pi_{z_1} \quad \text{и} \quad \frac{\partial \Pi_{z_2}}{\partial z} - \frac{\partial \Pi_{z_1}}{\partial z} = \frac{\partial \Pi_{x_1}}{\partial x} - \frac{\partial \Pi_{x_2}}{\partial x}. \quad (6)$$

Получение математических моделей поля для малых расстояний

Как отмечено выше, имеется настоятельная необходимость снижения вычислительной емкости решения рассматриваемой задачи, поэтому выражения (1) и (2) следует упростить с помощью надлежащей аппроксимации. Для этого обычно вводятся (см., например, [1,17,18]) ограничения на значения постоянных распространения и параметра разделения, которые, возможно, корректны при математическом моделировании распространения

радиоволн, при решении задач геологии, молниезащиты, но совершенно нехарактерны для материалов и расстояний микроэлектроники. Более того, физический смысл вводимых формально допущений иногда вообще неуловим.

В [19] было теоретически показано, что в квазистатике погрешность аппроксимации функций $\Phi_{m,j}(\lambda)$ на малых λ сказывается на значении функции Грина в основном на больших расстояниях, а для расчета поля на малых расстояниях важно повышать точность аппроксимации математической модели слоистой среды в области больших значений λ и при $\lambda = \infty$. В [20] эти выводы были подтверждены средствами вычислительного эксперимента и отмечено, что для функций Грина в области, где эти функции являются гладкими функциями частоты (каковыми они и являются, моделируя отсутствие объемных резонансных явлений), эти выводы справедливы в области нижних частот, где объемные резонансы в микроэлектронных конструктивах заведомо отсутствуют.

Учитывая прикладной характер решаемой задачи технической физики (ориентация на микроэлектронику), выражения (2) и (4), (5) целесообразно упростить, преобразовав их для случая малых расстояний. Такую возможность дают результаты работ [19,20]. Тогда для больших значений $\lambda \gg |k_j|$, соответствующих малым расстояниям (и/или области низких частот), $\alpha_j \approx \lambda$ и формулы (2) для элементарного диполя, расположенного на плоской границе раздела полупространств, примут вид

$$\Pi_{x_1} = \frac{1}{n^2} \int_0^\infty J_0(\lambda r) \exp[\lambda(z - z_0)] d\lambda, \quad z \leq 0,$$

$$\Pi_{x_2} = \frac{\exp(ik_2 R_1)}{R_1} - \frac{\exp(ik_2 R_2)}{R_2} + \int_0^\infty J_0(\lambda r) \exp[-\lambda(z + z_0)] d\lambda, \quad z \geq 0,$$

или с учетом тождества Вебера–Липшица [21]

$$\Pi_{x_1} = \frac{1}{n^2 R_1}, \quad z \leq 0, \quad (7)$$

$$\Pi_{x_2} = \frac{\exp(ik_2 R_1)}{R_1} - \frac{\exp(ik_2 R_2)}{R_2} + \frac{1}{R_2}, \quad z \geq 0. \quad (8)$$

Используя приближенное равенство $\alpha_j \approx \lambda [1 - k_j^2/(2\lambda^2)]$, выражения (4) и (5) для вертикальной компоненты можно представить в виде

$$\Pi_{z_1} = \frac{(k_2^2 - k_1^2) \cos \theta}{k_2^2(n^2 + 1)} \int_0^\infty J_1(\lambda r) \exp[\lambda(z - z_0)] d\lambda, \quad z - z_0 \leq 0, \quad (9)$$

$$\Pi_{z_2} = \frac{(k_2^2 - k_1^2) \cos \theta}{k_1^2(n^2 + 1)} \int_0^\infty J_1(\lambda r) \exp[-\lambda(z + z_0)] d\lambda, \quad z + z_0 \geq 0. \quad (10)$$

Взяв интегралы в выражениях (9) и (10), воспользовавшись равенством $\cos \theta = x/r$, получим

$$\Pi_{z_1} = \frac{(k_2^2 - k_1^2)x}{k_1^2(n^2 + 1)r^2} \left(1 - \frac{z - z_0}{R_1}\right), \quad z - z_0 \leq 0, \quad (11)$$

$$\Pi_{z_2} = \frac{(k_2^2 - k_1^2)x}{k_1^2(n^2 + 1)r^2} \left(1 - \frac{z + z_0}{R_2}\right), \quad z + z_0 \geq 0. \quad (12)$$

Принятая для получения выражений (7), (8), (11), (12) аппроксимация обеспечивает наибольшую точность при больших $\lambda \gg |k_j|$ (т.е. на малых расстояниях [19,20]) как на низких, так и на высоких частотах, и при $\lambda = \infty$ ошибка такой аппроксимации равна нулю на любой конечной частоте. Таким образом, выражения (7), (8), (11) и (12) дают решение волнового уравнения (строго говоря, приближенное) относительно поляризованного потенциала поля элементарного горизонтального диполя у плоской границы (и на границе) полупространств для малых расстояний r на нижних (не значит низких!) частотах.

Для расчета поля в многослойной среде можно использовать формулы (11) и (12) для полупространств; многослойность среды учитывается методом ЭПР.

Расчет ЭПР

В многослойной среде (при $m > 2$) k_e — это ЭПР, вычисляемая с учетом влияния всех слоев среды по формуле

$$k_e(r, z) = \sqrt{\varepsilon_0 \varepsilon_e \mu_0 \mu_e \omega^2 + i \mu_0 \mu_e \sigma_e \omega},$$

где σ_e — „кажущаяся“ активная проводимость слоистой среды с учетом влияния всех слоев; ε_e и μ_e — эквивалентные относительные диэлектрическая и магнитная проницаемости слоистой среды; константа Кулона $\varepsilon_0 = 10^{-9}/(36\pi)$ Ф/м; $\mu_0 = 4\pi \cdot 10^{-7}$ Н/м — константа Био-Савара; ω — угловая частота; значения σ_e , ε_e и μ_e рассчитываются при $\omega = 0$, т.е. на основе решения уравнений Лапласа; нижний индекс e при обозначении величин здесь и ниже указывает, что величина является эквивалентной, т.е. рассчитывается с учетом слоистости среды.

Методы расчета эквивалентной („кажущейся“) активной проводимости на постоянном токе хорошо известны в геологии. Известны как прямые методы расчета „кажущейся“ активной проводимости для изотропных и анизотропных [22] слоистых сред, так и косвенные, основанные на идее использования теории подобия, как предлагается в [23].

Значения эквивалентных относительных проницаемостей ε_e и μ_e как для горизонтальной, так и для вертикальной компонент поля рассчитываются при $\omega = 0$ как отношение соответствующих функций Грина для многослойной среды и среды, представляющей собой полупространства с плоской границей раздела, причем электрофизические характеристики σ_1 , ε_1 и μ_1 нижнего полупространства совпадают с характеристиками подстилающего слоя многослойной среды, а характеристики σ_2 , ε_2 и μ_2 верхнего полупространства совпадают с характеристиками накрывающего слоя, в котором находится элементарный диполь. Расчет σ_e , ε_e и μ_e не требует вычисления S -интегралов, а предполагает вместо этого решение уравнений Лапласа для вектора Герца или для электрического ϕ и векторного магнитного \mathbf{A} -потенциалов. Такое решение требует формулировать граничные условия при $\omega = 0$ на границах раздела слоев с проводимостями σ_j и относительными диэлектрическими ε_j и магнитными μ_j проницаемостями ($j = \overline{1, m}$), а также найти математические модели слоистой среды [16,20] (т.е. функции $\Phi_{m,j}$, $\Omega_{m,j}$ для векторного потенциала и функции $\Lambda_{m,j}$ для электрического) при $\omega = 0$. В силу известного соотношения $\mathbf{A} = \mu(-i\omega\mathbf{e} + \sigma)\mathbf{\Pi}$ [17] векторный магнитный \mathbf{A} и поляризованный $\mathbf{\Pi}$ потенциалы связаны между собой коэффициентом пропорциональности, значение которого в пределах каждого гомогенного слоя от координат не зависит и изменяется только при переходе через границу раздела слоев, поэтому граничные условия для магнитного потенциала могут быть сформированы на основе представленных выше граничных условий (3) и (6) для вектора Герца.

При $\omega = 0$ условия (3) и (6) на плоских границах раздела слоев с аппликатами $z = z_j$ приводятся к виду ($1 \leq j \leq m$):

$$A_{x,j+1} = A_{x,j} \quad \text{и} \quad \frac{\partial A_{x,j+1}}{\partial z} = \frac{\partial A_{x,j}}{\partial z}. \quad (13)$$

$$A_{z,j+1} = A_{z,j}; \quad \frac{1}{\mu_{j+1}\varepsilon_{j+1}} \frac{\partial A_{z,j+1}}{\partial z} - \frac{1}{\mu_j\varepsilon_j} \frac{\partial A_{z,j}}{\partial z} = \frac{1}{\mu_j\varepsilon_j} \frac{\partial A_{x,j}}{\partial x} - \frac{1}{\mu_{j+1}\varepsilon_{j+1}} \frac{\partial A_{x,j+1}}{\partial x}. \quad (14)$$

В пределах идеально проводящих слоев и на их границах потенциалы A и ϕ равны нулю. Для x -компоненты в случае непроводящих немагнитных сред, имеющих общую плоскую границу при $z = z_j$, на частоте $\omega \geq 0$ используются условия (13), а для z -компоненты — условия (14), которые можно представить в виде

$$A_{z,j+1} = A_{z,j} \quad \text{и} \quad \frac{1}{\varepsilon_{j+1}} \frac{\partial A_{z,j+1}}{\partial z} - \frac{1}{\varepsilon_j} \frac{\partial A_{z,j}}{\partial z} = \frac{1}{\varepsilon_j} \frac{\partial A_{x,j}}{\partial x} - \frac{1}{\varepsilon_{j+1}} \frac{\partial A_{x,j+1}}{\partial x}. \quad (15)$$

Для электрического потенциала граничные условия [23]

$$\varphi_{j+1} = \varphi_j \quad \text{и} \quad \varepsilon_{j+1} \frac{\partial \varphi_{j+1}}{\partial z} = \varepsilon_j \frac{\partial \varphi_j}{\partial z}. \quad (16)$$

Будем теперь считать, что источник поля (элементарный диполь) расположен в $\vartheta + 1$ -м слое над границей с аппликацией $z = z_\vartheta = 0$ или на этой границе.⁵

Для горизонтальной компоненты векторного магнитного потенциала в j -м слое m -слойной среды ($1 \leq j \leq \vartheta$) под верхней границей ϑ -го слоя эквивалентная относительная магнитная проницаемость, по определению:

$$\mu_{e,x,j} = \frac{A_{x,j}}{A_{2,1}} = \int_0^\infty J_0(\lambda r) \Phi_{m,j}(\lambda) d\lambda / \int_0^\infty J_0(\lambda r) \Phi_{2,1}(\lambda) d\lambda, \quad (17)$$

$$z \leq z_j \leq z_\vartheta,$$

где $\Phi_{m,j}$ — математическая модель m -слойной среды для j -го слоя, в котором вычисляется поле, получаемая из граничных условий (13) при $\omega = 0$; интеграл в знаменателе с точностью до постоянного коэффициента описывает x -компоненту поля элементарного диполя в нижнем полупространстве.

То же в j -м слое над верхней границей ϑ -го слоя ($m \geq j \geq \vartheta$):

$$\mu_{e,z,j} = \frac{A_{z,j}}{A_{2,2}} = \int_0^\infty J_0(\lambda r) \Phi_{m,j}(\lambda) d\lambda / \int_0^\infty J_0(\lambda r) \Phi_{2,2}(\lambda) d\lambda, \quad (18)$$

$$z \geq z_j \geq z_\vartheta,$$

где интеграл в знаменателе с точностью до постоянного коэффициента описывает x -компоненту поля элементарного диполя в верхнем полупространстве.

То же для вертикальной компоненты поля в j -м слое в области $z \leq z_j \leq z_\vartheta$:

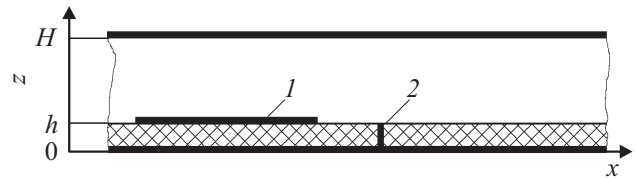
$$\mu_{e,z,j} = \frac{A_{z,j}}{A_{2,1}} = \int_0^\infty J_1(\lambda r) \Omega_{m,j}(\lambda) d\lambda / \int_0^\infty J_1(\lambda r) \Omega_{2,1}(\lambda) d\lambda. \quad (19)$$

Для вертикальной компоненты в j -м слое в области $z \geq z_j \geq z_\vartheta$

$$\mu_{e,z,j} = \frac{A_{z,\vartheta}}{A_{2,2}} = \int_0^\infty J_1(\lambda r) \Omega_{m,\vartheta}(\lambda) d\lambda / \int_0^\infty J_1(\lambda r) \Omega_{2,2}(\lambda) d\lambda. \quad (20)$$

Для вычисления эквивалентной относительной диэлектрической проницаемости ε_e функцию Грина в слоистой среде ищем, используя граничные условия (16)

⁵ Для диполя на границе раздела при формировании системы уравнений, используя различные граничные условия, полагаем, что диполь отделен от границы весьма тонким зазором, свободным от источников поля. Для нахождения функций Φ , Ω , Λ толщина зазора устремляется к нулю и осуществляется переход к пределу.



Четырехслойная среда, адекватная проводнику на плате с верхним и нижним экранами: 1 — проводник-источник поля, 2 — заземляющая перемычка (проводник-рецептор).

для электрического потенциала φ на частоте $\omega = 0$. По определению эквивалентной диэлектрической проницаемости для поля в j -м слое ($1 \leq \vartheta \leq j$) по аналогии с [11]:

$$\varepsilon_{e,j} = \frac{\varphi_2}{\varphi_j} = \int_0^\infty J_0(\lambda r) \Lambda_{2,2}(\lambda) d\lambda / \int_0^\infty J_0(\lambda r) \Lambda_{m,j}(\lambda) d\lambda,$$

$$z \geq z_j \geq z_\vartheta.$$

То же для $1 \leq j \leq \vartheta$:

$$\varepsilon_{e,j} = \frac{\varphi_1}{\varphi_j} = \int_0^\infty J_0(\lambda r) \Lambda_{2,1}(\lambda) d\lambda / \int_0^\infty J_0(\lambda r) \Lambda_{m,j}(\lambda) d\lambda,$$

$$z \leq z_j \leq z_\vartheta.$$

По найденным значениям эквивалентных проницаемостей находятся значения ЭПР, которые используются для расчета поляризационного потенциала по формулам (7), (8), (11), (12). Вычислив затем потенциалы по формулам $\mathbf{A} = \mu_e(-i\omega\varepsilon_e + \sigma_e)\mathbf{\Pi}$ и $\varphi = -\text{div } \mathbf{\Pi}$, находим по формуле (1) напряженность электрического поля единичного элементарного диполя, значений которой достаточно для решения широкого класса задач.

Приложение

Пример использования методики

Рассмотрим расчет ЭДС помехи, наведенной в вертикальной заземляющей перемычке на металлизированной диэлектрической печатной плате горизонтальным прямоугольным пленочным проводником. Верхний экран образован металлизированным слоем соседней („верхней“) платы. Соответствующая конструкция схематично представлена на рисунке. Диэлектрики с диэлектрическими проницаемостями ε_3 (для пространства над платой) и ε_2 (для платы) полагаем непроводящими и немагнитными, экраны полагаем идеально проводящими. Источник поля (проводник прямоугольного сечения шириной W , длиной l , толщиной t и характеристическим сопротивлением 114Ω) ориентирован вдоль оси абсцисс.

Для расчета поля методом ЭПР необходимо определить эквивалентные проницаемости. Для определения эквивалентной диэлектрической проницаемости требуется знать потенциал электрического поля в квазистационарном приближении для каждого слоя среды, адекватной реальному конструктиву. Для описания электрического потенциала поля в слое над платой (см. рисунок) будем использовать выражение $\int_0^\infty J_0(\lambda r) \Lambda_{4,3}(\lambda) d\lambda$, которое включает математическую модель $\Lambda_{4,3}(\lambda, z, z_0) = \exp(-\lambda|z - z_0|) + s_3(\lambda) \exp[\lambda(z - z_0) + p_3(\lambda) \exp[\lambda(x - z)]]$, а для слоя, который соответствует плате, будем использовать модель $\Lambda_{4,2}(\lambda, z, z_0) = s_2(\lambda) \exp[\lambda(z - z_0)] + p_2(\lambda) \exp[\lambda(x - z)]$. Записав с помощью этих выражений граничные условия (16), получим систему интегральных уравнений относительно неизвестных $s_\nu(\lambda)$ и $p_\nu(\lambda)$ ($\nu = 1, 2$); число уравнений необходимо и достаточно для отыскания неизвестных функций s_ν и p_ν . С помощью интеграла Фурье–Бесселя [24] переходим к системе линейных алгебраических уравнений и тогда граничные условия примут вид:

$$\begin{aligned} & s_3(\lambda) \exp[\lambda(H - z_0)] + p_3(\lambda) \exp[\lambda(z_0 - H)] \\ & + \exp(\lambda|H - z_0|) = 0, \\ & s_3(\lambda) \exp[\lambda(h - z_0)] + p_3(\lambda) \exp[\lambda(z_0 - h)] \\ & + \exp|\lambda(h - z_0)| = s_2(\lambda) \exp[\lambda(h - z_0)] \\ & + p_2(\lambda) \exp[\lambda(z_0 - h)], \\ & s_2(\lambda) \exp(-\lambda z_0) + p_2(\lambda) \exp(\lambda z_0) = 0, \\ & \varepsilon_3 \{s_3(\lambda) \exp[\lambda(h - z_0)] - p_3(\lambda) \exp[\lambda(z_0 - h)] \\ & + \exp|-\lambda(h - z_0)|\} = \varepsilon_2 \{s_2(\lambda) \exp[\lambda(h - z_0)] \\ & - p_2(\lambda) \exp[\lambda(z_0 - h)]\}. \end{aligned}$$

Решив эту систему уравнений, получим, что

$$s_3 = \frac{2\varepsilon_3}{(\varepsilon_2 D - \varepsilon_3) \{ \exp[2\lambda(h - z_0)] + \exp(-2H) \}},$$

где

$$\begin{aligned} D &= \frac{1 + \exp(-2h)}{1 - \exp(-2h)} \frac{1 - \exp[2\lambda(H - h)]}{1 + \exp[2\lambda(H - h)]}, \\ p_2 &= -s_3 \frac{1 - \exp[2\lambda(H - h)]}{1 + \exp[2\lambda(H - h)]}, \\ p_3 &= -s_3 \exp[2\lambda(H - z_0)] - 1, \\ s_2 &= -p_2 \exp(-2\lambda z_0). \end{aligned}$$

Математическая модель полупространств с плоской границей для расчета $\varepsilon_{e,\nu}$ ($\nu = 1, 2$) находится аналогично. Для этого следует рассмотреть при $\omega = 0$ электрический потенциал в структуре, состоящей из полупространств, верхнее из которых имеет свойства свободного пространства, а нижнее — свойства материала платы. Потенциал в верхнем полупространстве описывается с помощью математической модели

$\Lambda_{2,2}(\lambda, z, z_0) = \exp(-\lambda|z - z_0|) + q_2(\lambda) \exp[\lambda(z_0 - z)]$, а в нижнем полупространстве — с помощью математической модели $\Lambda_{2,1}(\lambda, z, z_0) = g_1(\lambda) \exp[\lambda(z - z_0)]$. Граничные условия (16) вкпе с интегралом Фурье–Бесселя дают систему, решение которой имеет вид

$$\begin{aligned} q_2(\lambda) &= \frac{\varepsilon_3 \exp[-2\lambda(z_0 - h)]}{\varepsilon_2 + \varepsilon_3}, \\ g_1(\lambda) &= \frac{\varepsilon_3 - \varepsilon_2 \exp[2\lambda(z_0 - h)]}{\varepsilon_3 + \varepsilon_2} + 1. \end{aligned}$$

Тогда эквивалентная относительная диэлектрическая проницаемость ($j = 3$)

$$\varepsilon_{e,3} = \frac{\int_0^\infty J_0(\lambda r) \{ \exp(-\lambda|z - z_0|) + s_3(\lambda) \exp[\lambda(z - z_0)] + p_3(\lambda) \exp[\lambda(z - z_0)] \} d\lambda}{\int_0^\infty J_0(\lambda r) \{ \exp(-\lambda|z - z_0|) + q_2(\lambda) \exp[\lambda(z_0 - z)] \} d\lambda}.$$

То же для слоя с номером $j = 2$, который соответствует плате

$$\varepsilon_{e,2} = \frac{\int_0^\infty J_0(\lambda r) \{ s_2(\lambda) \exp[\lambda(z - z_0)] + p_2(\lambda) \exp[\lambda(z_0 - z)] \} d\lambda}{\int_0^\infty J_0(\lambda r) \{ g_1(\lambda) \exp[\lambda(z - z_0)] \} d\lambda}.$$

Формирование математической модели четырехслойной структуры, соответствующей конструктиву на рисунке, для x -компоненты векторного потенциала при расчете эквивалентной относительной магнитной проницаемости μ_e проводится аналогично, но на основе использования граничных условий (13). Решение соответствующей системы уравнений показывает, что x -компонента при $\omega = 0$ для слоя над платой описывается с помощью функции

$$\begin{aligned} \Phi_{4,3}(\lambda, z, z_0) &= u_3(\lambda) \exp[\lambda(z_0 - z)] \\ &+ w_3(\lambda) \exp[\lambda(z - z_0)] + \exp(-\lambda|z - z_0|), \end{aligned} \quad (П1)$$

где

$$\begin{aligned} w_3(\lambda) &= \frac{2}{(D - 1) \{ \exp[2\lambda(h - z_0)] + \exp(-2\lambda H) \}}, \\ D &= \frac{1 + \exp(-2h)}{1 - \exp(-2h)} \frac{1 - \exp[2\lambda(H - h)]}{1 + \exp[2\lambda(H - h)]}, \\ u_3(\lambda) &= -w_3(\lambda) \exp[2\lambda(H - z_0)] - 1. \end{aligned}$$

Для слоя, соответствующего плате, x -компонента описывается с помощью функции

$$\Phi_{4,2}(\lambda, z, z_0) = u_2(\lambda) \exp[\lambda(z_0 - z)] + w_2(\lambda) \exp[\lambda(z - z_0)], \quad (П2)$$

где

$$\begin{aligned} u_2(\lambda) &= -w_3 \frac{1 - \exp[2\lambda(H - h)]}{1 + \exp[2\lambda(H - h)]}, \\ w_2 &= -u_2(\lambda) \exp(-2\lambda z_0). \end{aligned}$$

Чтобы получить аналитические выражения для эквивалентных относительных магнитных проницаемостей, соответствующих каждой из компонент векторного потенциала, следует еще рассмотреть этот потенциал в структуре из полупространств, верхнее из которых имеет свойства свободного пространства, а нижнее — свойства материала платы и соответствующие нижнему полупространству функции $\Omega_{2,1}$ и $\Phi_{2,1}$. Для x -компоненты эквивалентная проницаемость μ_e в верхнем полупространстве описывается формулой (18) с помощью математической модели $\Phi_{2,2}(\lambda, z, z_0) = q_2(\lambda) \exp[\lambda(z_0 - z)] + \exp(-\lambda|z - z_0|)$, а в нижнем — с помощью математической модели $\Phi_{2,1}(\lambda, z, z_0) = g_1(\lambda) \exp[\lambda(z - z_0)]$. Граничные условия (15) вкпе с интегралом Фурье–Бесселя дают систему, решение которой имеет вид

$$q_2(\lambda) = \frac{\exp[-2\lambda(z_0 - h)]}{2}, \quad g_1(\lambda) = \frac{3 - \exp[2\lambda(z_0 - h)]}{2}.$$

Для x -компоненты векторного потенциала в объеме платы по формуле (17)

$$\mu_{e,x,2} = \frac{\int_0^\infty J_0(\lambda r) \{w_2(\lambda) \exp[\lambda(z - z_0)] + u_2(\lambda) \exp[\lambda(z_0 - z)]\} d\lambda}{\int_0^\infty J_0(\lambda r) \{g_1(\lambda) \exp[\lambda(z - z_0)]\} d\lambda},$$

то же для слоя над платой

$$\mu_{e,x,3} = \frac{\int_0^\infty J_0(\lambda r) \{w_3(\lambda) \exp[\lambda(z - z_0)] + u_3(\lambda) \exp[\lambda(z_0 - z)]\} d\lambda}{\int_0^\infty J_0(\lambda r) \{q_2(\lambda) \exp[\lambda(z_0 - z)] + \exp(-\lambda|z - z_0|)\} d\lambda}.$$

Для z -компоненты векторного потенциала при расчете эквивалентной магнитной проницаемости μ_e по формуле (19) требуется использовать математическую модель $\Omega_{m,j}$ того же типа, что и $\Phi_{m,j}$ для x -компоненты, но сформированную на основе граничных условий (15) [15], в которых участвуют обе компоненты векторного потенциала. В любом из четырех (j -м) слоев модели z -компонента векторного потенциала описывается при помощи функции вида

$$A_{z,j} = \int_0^\infty J_1(\lambda r) \Omega_{4,j}(\lambda, z, z_0) d\lambda, \quad j = \overline{1, 4}.$$

Математические модели описываются следующими выражениями:

$$\Omega_{4,1} = \Omega_{4,4} = 0,$$

$$\Omega_{4,2}(\lambda, z, z_0) = c(\lambda) \exp[\lambda(z - z_0)] + a(\lambda) \exp[\lambda(z_0 - z)], \quad (\text{П3})$$

$$\Omega_{4,3}(\lambda, z, z_0) = e(\lambda) \exp(-\lambda|z - z_0|) + f(\lambda) \exp[\lambda(z_0 - z)]. \quad (\text{П4})$$

Для четырехслойной структуры граничные условия (15) образуют систему

$$\begin{aligned} &c(\lambda) \exp[\lambda(h - z_0)] + a(\lambda) \exp[\lambda(z_0 - h)] \\ &= \exp(-\lambda|h - z_0|) + e(\lambda) \exp[\lambda(h - z_0)] \\ &+ f(\lambda) \exp[\lambda(z_0 - h)], \\ &\{e(\lambda) \exp[\lambda(h - z_0)] - f(\lambda) \exp[\lambda(z_0 - h)] \\ &+ \exp(-\lambda|h - z_0|)\} / \varepsilon_3 - \{c(\lambda) \exp[\lambda(h - z_0)] \\ &- a(\lambda) \exp[\lambda(z_0 - h)]\} / \varepsilon_2 = \frac{x}{r} \Gamma, \\ &\exp(-\lambda|H - z_0|) + e(\lambda) \exp[\lambda(H - z_0)] \\ &+ f(\lambda) \exp[\lambda(z_0 - H)] = 0, \\ &c(\lambda) \exp(-\lambda z_0) + a(\lambda) \exp(\lambda z_0) = 0, \end{aligned}$$

где

$$\Gamma = -\Phi_{4,2}(\lambda, h) / \varepsilon_2 + \Phi_{4,3}(\lambda, h) / \varepsilon_3,$$

$\Phi_{4,j}$ и $\Omega_{4,j}$ от x не зависят и для x -компоненты описываются формулами (П2) и (П1), а для z -компоненты — формулами (П3) и (П4).

При $z_0 = h$ решение системы имеет вид

$$f(\lambda) = \frac{\frac{x}{r} \Gamma + \{\exp[2\lambda(h - H)] - 1\} \{1/\varepsilon_3 - 1/\varepsilon_2\} + \xi}{-\{1 + \exp[2\lambda(h - H)]\} / \varepsilon_3 - \{1 - \exp[2\lambda(h - H)]\} / \varepsilon_2 - \xi},$$

где

$$\begin{aligned} \xi &= 2 \frac{\exp[2\lambda(h - H)] - 1}{[\exp(2\lambda h) - 1] \varepsilon_2}, \\ e(\lambda) &= -[1 + f(\lambda)] \exp[2\lambda(h - H)], \\ a(\lambda) &= [1 + f(\lambda)] \frac{\exp[2\lambda(h - H)] - 1}{\exp(2\lambda h) - 1}, \\ c(\lambda) &= 1 + f(\lambda) + e(\lambda) - a(\lambda). \end{aligned}$$

Для расчета $m_{e,z,2}$ требуется еще найти векторный потенциал магнитного поля в структуре из полупространств, верхнее из которых имеет свойства свободного пространства, а нижнее — свойства материала платы. Потенциал в верхнем полупространстве описывается с помощью математической модели $\Omega_{2,2}(\lambda, z, z_0) = \exp(-\lambda|z - z_0|) + b(\lambda) \exp[\lambda(z_0 - z)]$, а в нижнем — с помощью математической модели $\Omega_{2,1}(\lambda, z, z_0) = d(\lambda) \exp[\lambda(z - z_0)]$. Граничные условия (15) вкпе с интегралом Фурье–Бесселя дают систему из двух алгебраических уравнений:

$$\begin{aligned} &d(\lambda) \exp[\lambda(h - z_0)] = \exp(-\lambda|h - z_0|) + b(\lambda) \exp[\lambda(z_0 - h)], \\ &\{-b(\lambda) \exp[\lambda(z_0 - h)] + \exp(-\lambda|h - z_0|)\} / \varepsilon_3 \\ &+ d(\lambda) \exp[\lambda(z_0 - h)] / \varepsilon_2 \\ &= \frac{x}{r} [-\Phi_{2,1}(\lambda, h) / \varepsilon_2 + \Phi_{2,2}(\lambda, h) / \varepsilon_3], \end{aligned}$$

решение которой имеет вид

$$b(\lambda) = \frac{\{\varepsilon_3 \varepsilon_2 \beta_2 x / r - \varepsilon_2 \exp[\lambda(h - z_0)] - \varepsilon_3 \exp[\lambda(z_0 - h)]\} \exp[\lambda(h - z_0)]}{\varepsilon_3 \exp[2\lambda(z_0 - h)] - \varepsilon_2}$$

где

$$\beta_2 = \Phi_{21} / \varepsilon_2 + \Phi_{22} / \varepsilon_3, \\ d(\lambda) = 1 + b(\lambda) \exp[2\lambda(z_0 - h)].$$

Тогда для z -компоненты векторного потенциала в объеме платы по формуле (19):

$$\mu_{e,z,2} = \frac{\int_0^\infty J_1(\lambda r) \{c(\lambda) \exp[\lambda(z - z_0)] + a(\lambda) \exp[\lambda(z_0 - z)]\} d\lambda}{\int_0^\infty J_1(\lambda r) d(\lambda) \exp[\lambda(z - z_0)] d\lambda}.$$

То же в слое над платой по формуле (20):

$$\mu_{e,z,3} = \frac{\int_0^\infty J_1(\lambda r) \{\exp(-\lambda|z - z_0|) + e(\lambda) \exp[\lambda(z - z_0)] + f(\lambda) \exp[\lambda(z_0 - z)]\} d\lambda}{\int_0^\infty J_1(\lambda r) \{\exp(-\lambda|z - z_0|) + b(\lambda) \exp[\lambda(z_0 - z)]\} d\lambda}.$$

Вычисление напряжения помехи

Как показано выше, расчет ЭПР требует вычисления интегралов двух типов:

$$I_1 = \int_0^\infty J_0(\lambda r) \Phi_=(\lambda, z - z_0) d\lambda$$

$$\text{и } I_2 = \int_0^\infty J_1(\lambda r) \Phi_\perp(\lambda, z - z_0) d\lambda,$$

где $\Phi_=-$ — математическая модель плоскостройной среды для электрического потенциала или для горизонтальной составляющей векторного потенциала, Φ_\perp — то же для вертикальной составляющей векторного потенциала.

Обобщая полученные к настоящему времени результаты, можно отметить, что для нетривиальных случаев известные способы вычисления интеграла I_1 базируются либо на использовании свойств тета-функции [25], либо на аппроксимации функции $\Phi_=(\lambda)$ отрезком экспоненциального ряда на интервале $[0, \infty]$ и использовании тождества Вебера–Липшица

$$\int_0^\infty J_0(\lambda r) \exp(-\lambda \tau_0) d\lambda = \frac{1}{\sqrt{r^2 + \tau_0^2}} \quad (\tau_0 \geq 0),$$

где τ_0 — масштабирующий множитель [20,21]. Этот метод рассмотрен в [20,21], метод тета-функции предложен в [25] и развит в [26].

Методы вычисления интеграла I_2 пока не опубликованы (по сведениям автора). Для вычисления I_2 предлагается аппроксимировать функцию $\Phi_\perp(\lambda)$, как и при вычислении I_1 , интерполяционным многочленом $\sum_{\nu=0}^N \exp(-\nu \lambda \tau_0) \approx \Phi_\perp(\lambda)$ на чебышевской сетке [27] и вычисление интеграла свести к вычислению суммы:

$$\int_0^\infty J_1(\lambda r) \sum_{\nu=0}^N \exp(-\nu \lambda \tau_0) d\lambda = \frac{1}{r} \sum_{\nu=0}^N \left[1 - \frac{\nu \tau_0}{\sqrt{r^2 + (\nu \tau_0)^2}} \right] \approx I_2, \quad \tau_0 \geq 0.$$

Аналитические выражения для математических моделей среды Φ, Λ, Ω , получаемые из граничных условий, достаточно громоздки; для повышения надежности результата (особенно при $m > 4$ и/или $z_0 \neq h$) систему уравнений, формируемую для получения Φ, Λ, Ω , целесообразно решать численно, при фиксированных значениях λ , соответствующих узлам интерполяции.

Приняв в качестве физической модели среды полупространства с плоской границей раздела и эквивалентными параметрами, по методу ЭПР с учетом формулы (11) функция Грина для поляризованного потенциала поля в плате при $\sigma = 0$:

$$\Pi_{z1} = \frac{(k_{e2}^2 - k_{e1}^2)x}{(k_{e1}^2 + k_{e2}^2)r^2} \left(1 - \frac{z - z_0}{R_1} \right), \quad z - z_0 \leq 0,$$

где

$$k_{ej}(r, z) = \omega \sqrt{\varepsilon_0 \varepsilon_{ej} \mu_0 \mu_{ej}}, \quad j = 1, 2.$$

Z -компонента поляризованного потенциала поля, создаваемого проводником-источником, рассчитывается интегрированием соответствующей функции Грина с весом, равным плотности тока, по объему этого проводника. Закон распределения плотности тока $j(x_0, y_0, z_0)$ по объему проводника и различные аппроксимации этого закона рассмотрены в [12,27]

$$j(x_0, y_0, z_0) = I(x_0)j(y_0)j(z_0).$$

Решение уравнения Гельмгольца для тока в согласованной однородной линии произвольного сечения, ориентированной вдоль оси абсцисс, описывается хорошо известным выражением

$$I(x_0) = I_1 \exp(-\gamma|x_0 - x_s|),$$

где $I_1 = U_0 / \sqrt{(i\omega L + r_0)/(i\omega C + g_0)}$ — ток в начале линии (проводника-источника), т.е. при $x = x_s$; $\gamma = \sqrt{(i\omega L + r_0)(i\omega C + g_0)} / l_s$ — постоянная распространения электромагнитной волны вдоль однородной линии; L, C, r_0, g_0 — полные распределенные параметры линии (индуктивность, емкость, активное сопротивление и активная проводимость утечки соответственно).

Распределение тока вдоль оси ординат $j(y_0)$ можно аппроксимировать δ -функцией Дирака [12, П3]:

$$j(y_0) = 2\delta(|y_0| - b/2).$$

Распределение $j(z_0)$ можно считать равномерным. Тогда поляризованный потенциал помехонесущего поля, создаваемого проводником-источником в точке с координатами $\{x, y, z\}$, описывается формулой

$$\Pi_s(x, y, z) = \int_0^t j(z_0) dz_0 \int_{-b/2}^{b/2} j(y_0) dy_0 \int_{x_s}^{x_s+l_s} I(x_0) \Pi_{z_1} dx_0,$$

где $x_s, x_s + l_s$ — абсциссы начала и конца проводника-источника.

Практически без потери точности плотность тока можно принять постоянной по толщине и ширине проводника-источника. Тогда получим

$$\Pi_s(x_s + l_s) = \frac{1}{tb} \int_0^t dz_0 \int_0^b dy_0 \int_{x_s}^{x_s+l_s} I(x_0) \Pi_{z_1} dx_0.$$

Выразив потенциалы φ и A через вектор Герца, наводимую в проводнике-рецепторе ЭДС χ можно вычислить по формуле (1) через интеграл от вертикальной компоненты напряженности электрического поля E_{z_1} при фиксированных значениях x и y , соответствующих координатам рецептора:

$$\chi = \int_{z_1}^{z_2} E_{z_1} dz = - \left[\frac{\partial \Pi_s}{\partial z} \Big|_{z=z_2} - \frac{\partial \Pi_s}{\partial z} \Big|_{z=z_1} \right] + k_{e_2}^2 \int_{z_1}^{z_2} \Pi_s dz.$$

Интеграл вычисляется численно. Расчет эквивалентных проницаемостей рассмотрен выше.

Задача решена.

Список литературы

- [1] Франк Ф.Р., Мизес М. Дифференциальные и интегральные уравнения математической физики. Ч. 2. Л.: ОНТИ, 1937. 1000 с.
- [2] Гринберг Г.А. Избранные вопросы математической теории электрических и магнитных явлений. М., Л.: АН СССР, 1948. 728 с.
- [3] Ming-Ju Tsai, Chinglung Chen, Alexopoulos N.G. // Electromagnetics. 1998. Vol. 18. N 3. P. 267–288.
- [4] Jackson D.R., Alexopoulos N.G. // IEEE Transactions on Antenna Propagation. 1980. Vol. AP-34. N 12. P. 1467–1470.
- [5] Балук Н.В., Зеленин А.Н. // Технологии электромагнитной совместимости. 2006. № 2 (17). С. 54–58.
- [6] Konefal T., Dawson J.F., Marvin A. // IEEE Transactions on Electromagnetic Compatibility. 2005. Vol. 47. N 4. P. 678–691.
- [7] Wallyn W., De Zutter D., Rogier H. // IEEE Transactions on Electromagnetic Compatibility. 2002. Vol. 44. N 1. P. 130–138.
- [8] Kochetov S.V. Time-and-frequency-domain modeling of passive interconnection structures in field and circuit analysis. Magdeburg: Magdeburger forum zur Elektrotechnik, 2008. 211 p.
- [9] Antonini G., Deschrijver D., Dhaene T. // IEEE Transactions on Electromagnetic Compatibility. 2007. Vol. 49. N 1. P. 35–48.
- [10] Ren K., Railton C.J. // IEEE Transactions on Antennas and Propagation. October 2008. Vol. 56. N 10. P. 3253–3259.
- [11] Конников И.А. // ЖТФ. 2013. № 10. С. 8–12.
- [12] Конников И.А. // Электромагнитные волны и электронные системы. 2013. № 7. С. 53–60.
- [13] Конников И.А. // Информационные технологии. 2013. № 4. С. 2–8.
- [14] Конников И.А. // Вестник МГТУ им. Н.Э. Баумана, сер. Приборостроение. 2007. № 4(69). С. 3–20.
- [15] Sommerfeld A. Partial differential equations in physics. N. Y.: Academic Press Inc., 1949. 335 p.
- [16] Конников И.А. // Математическое моделирование. 2007. Т. 19. № 4. С. 37–44.
- [17] Страттон Дж.А. Теория электромагнетизма. М., Л.: ОГИЗ, 1948. 540 с.
- [18] Лавров Г.А., Князев А.С. Приземные и подземные антенны. М.: Сов. радио, 1965. 260 с.
- [19] Конников И.А. // Петербургский журнал электроники. 2013. № 3. С. 97–104.
- [20] Конников И.А. // Прикладная физика и математика. 2014. № 3. С. 39–50.
- [21] Конников И.А. // Прикладная физика. 2007. № 2. С. 17–24.
- [22] Куфуд О. Зондирование методом сопротивлений. М.: Недра, 1984. 270 с.
- [23] Говорков В.А. М., Л.: Госэнергоиздат, 1960. 464 с.
- [24] Тихонов А.Н., Самарский А.А. Уравнения математической физики. М.: Наука, 1977. 736 с.
- [25] Конников И.А. // Электричество. 2007. № 3. С. 37–41.
- [26] Конников И.А. // ЖТФ. 2007. Вып. 1. С. 15–20.
- [27] Конников И.А. // Прикладная физика и математика. 2013. № 6. С. 75–83.